

## 산성용액 중에서 Phenyl N-(*p*-chlorobenzoyl)chloroformimidate 유도체의 가수분해 반응 메카니즘

成洛道† · 全溶求\* · 權奇星\*\* · 金泰麟\*\*\*

†충남대학교 농과대학 농화학과

\*대전 기계창

\*\*충남대학교 자연과학대학 화학과

\*\*\*고려대학교 이과대학 화학과

(1987. 1. 22 접수)

## Mechanism of the Hydrolysis of Phenyl N-(*p*-chlorobenzoyl)-Chloroformimidate Derivatives in Acid Media

Nack-Do Sung†, Young-Gu Cheun\*, Ki-Sung Kwon, \*\* and Tae-Rin Kim\*\*\*

†Department of Agricultural Chemistry, Chungnam National University, Daejon 300-31, Korea

\*Daejon Machine Development, Daejon P.O. Box 35, Korea

\*\*Department of Chemistry, Chungnam National University, Daejon 300-31, Korea

\*\*\*Department of Chemistry, Korea University, Seoul 132, Korea  
(Received January 22, 1987)

**요약.** 25°C의 1:4 dioxane-물의 혼합용액 속에서 파라-치환된 phenyl N-(*p*-chlorobenzoyl)chloroformimidate(I) 유도체들의 가수분해 반응속도 상수를 측정하고 반응속도식, 치환기 효과( $\rho > \rho^+$ ), 생성물 분석 및 분자궤도 함수의 계산 결과로부터 pH3.0 이하에서는 azocarbonium 이온(II)이 생성되는  $S_N1$  반응 메카니즘으로 무촉매 반응이 일어나며, pH4.0 이상에서는 전이상태(III)를 지나는  $S_N2$  반응 메카니즘을 통하여 염기 촉매반응이 일어남을 제안 할 수 있었다. 4 가지 peri planar 형태 이성질체들의 상대적인 안정도는 각각 (E-ap) > (Z-sp) > (E-sp) > 및 (Z-ap)이었고, (E-ap) 형태의 가장 안정한 입체구조는 benzimidochloroformyl group 면에 대하여 Y-치환 phenyl group이 수직(90°)을 이루었으며 (I)의 활성화된 azomethine 탄소 원자에 대하여 물분자는 시그마 공격에 의하여 친핵성 반응이 일어난다.

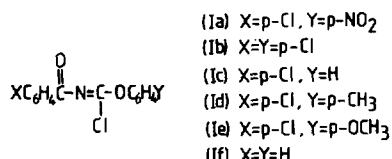
**ABSTRACT.** Rate constants for the hydrolysis of *para*-substituted phenyl N-(*p*-chlorobenzoyl)chloroformimidate (I) derivatives in 1:4 dioxane-water at 25°C have been determined. Rate data, substituent effect ( $\rho > \rho^+$ ), product analysis and MO calculation indicate that the uncatalysed reaction proceeds through an  $S_N1$  mechanism involving the formation of azocarbonium ion (II) below pH 3.0, and the base-catalysed reaction proceeds through an  $S_N2$  mechanism via transition state (III) above pH4.0. The relative stability of four peri planar conformational isomers were (E-ap) > (Z-sp) > (E-sp) > & (Z-ap), respectively, and the most stable stereo structures shows that the Y-substituted phenyl group ( $C_6H_4-Y$ ) occupy vertical (90°) position on the plane of the benzimidochloroformyl group.

myl group in (E-ap) conformer. The nucleophilic substitution of water molecule occurs by sigma attack to the activated azomethine carbon atom of (I) derivatives.

## 서 론

imidic acid 나 isoamide 의 에스테르인 formimidate 는 Schiff-염기의 반응성을 나타낼 뿐만 아니라, thioformimidate 나 amidine 과 더불어 친핵성 첨가반응, 친핵성 치환반응, 제거반응, 이성화 반응 및 자리옮김 반응 등이 다양하게 일어난다<sup>1</sup>. 특히, chloroformimidate 의 반응은 친핵체의 종류와 azomethine 탄소에 결합된 이탈기에 따라 다양한 반응을 하게 되는데, 물분자 이외 친핵체와의 반응은 chloro group 만이 이탈되지만<sup>2</sup>, 가수분해 반응이 일어나는 경우에는 단계적으로 이탈기가 모두 이탈되기도 한다<sup>3</sup>. 이탈기가 없는 imidate 는 친핵성 첨가반응 및 일반 산-염기 촉매반응으로 사면체 중간체를 지나<sup>4</sup> 산성에서는 amide 와 ester 를, 그리고 염기성에서는 *N*-치환 amide 를 생성하지만<sup>5</sup>, 좋은 이탈기가 있게되면 자리옮김 반응이 일어나지 않고 *S<sub>N</sub>1*이나 *S<sub>N</sub>2* 또는 *Ad<sub>N-E</sub>* 등의 친핵성 반응이 일어난다<sup>3,6</sup>.

Azomethine 화합물의 이성화 반응은 bridged ion pair complex 를 형성하여 이루어지며<sup>7</sup> oxime ether 들은 conjugate base 인 nitrilium 이온<sup>8</sup>을 지나 alkoxy group 이 이탈되어 benzonitrile 을 형성하는 central E<sub>2</sub> 반응이 일어난다<sup>9</sup>. 자리옮김 반응은 phenyl group 이나 또는 acyl group 이 산소원자에서 질소원자로 고리중간체를 지나 1,3-이동하는 Chapman, Smile, Beckman-Chapman 및 Chichibabin 반응 등이 알려져 있다<sup>10</sup>.



*< I >*

본 연구에서는 일련의 파라-치환된 Phenyl *N*(*p*-chlorobenzoyl)chloroformimidate(I) 유도체들을 합성한 다음에 pH7.0 이하 dioxane-물의 혼

합용액 속에서 일어나는 가수분해 반응속도 상수를 측정하고 반응속도식, 치환기 효과, 생성물 분석, 그리고 분자의 형태와 물분자의 첨가배향 및 섭동작용 등을 검토하여 실험과 MO 계산 결과를 합리적으로 설명할 수 있는 가수분해 반응 메카니즘을 제안하고자 한다.

## 실 험

시료물질의 합성과 반응속도 측정시에 사용한 모든 시약과 용매는 정제하여 사용하였으며 화합물의 녹는 점은 Fisher-Johns 사제의 용점 측정기로 측정하였다. 합성된 여러 화합물의 확인에 이용한 IR 스펙트라는 Pye-Unicam SP3 050 Spectrophotometer 를, 그리고 원소분석은 Perkin-Elmer 240 CHN Analyzer 를 이용하였다. 또한 NMR 스펙트라는 TMS 나 DSS 를 내부 표준물질로 한, D<sub>2</sub>O 나 CDCl<sub>3</sub> 용액 속에서 시료의 농도를 0.1M 정도 되도록하여 Varian T-60 spectrometer 로 얻었으며, 반응속도 측정은 Brinkman Instrument 사제 Model Lauda RM6 의 항온수 순환기를 장착한 Hewlett packard 845A, Diode-Array Spectrophotometer 를 각각 사용하였다.

### Phenyl *N*-(*p*-Chlorobenzoyl)chloroformimidates(I)의 합성<sup>11</sup>

Ambelang 등<sup>11a</sup>의 방법으로 KSCN 과 *p*-chlorobenzoyl chloride로부터 *p*-chlorobenzoyl isothiocyanate(bp. obs. 140-143°C/20mmHg, (lit. 80°C /1mmHg))를 만든 다음(수율 65%)에 Neidlein<sup>11b</sup> 등의 방법에 따라 *p*-chlorobenzoylisothiocyanate 용액에 chlorine gas 를 통과시켜 자극성이 심한 옅은 노란색 액체인 *p*-chlorobenzoyl isocyanide dichloride(bp. obs., 146-149°C/25mmHg)를 합성하였다. 다시 Hegarty 등<sup>6</sup>의 방법으로 *p*-chlorobenzoyl isocyanide dichloride, 0.2M(1eq.)과 *p*-sub. phenol, 0.2M(1eq.) 그리고 triethyl amine, 0.2M(1eq.)로부터 95% 이상의 수율로 (Ia)-(Ie) 유도체들을 합성하였으며 기기분석 결

과는 다음과 같다.

(Ia) : mp. obs. 127–129°C, UV(dioxane) : 245nm,  $\epsilon=55,500.$ , IR(KBr)  $\text{cm}^{-1}$ : 1755 (vs. C=O st.), 1564(s. C=N st.), 1515 & 1340(vs. NO<sub>2</sub> st.), 1260(vs. C—O—C st.), NMR(CDCl<sub>3</sub>/TMS)  $\delta$  (ppm) : 8.80(d.  $\sigma$ -2H,  $J_{AX}=9\text{Hz}$ . O—C<sub>6</sub>H<sub>4</sub>), 7.86(d.  $m$ -2H O—C<sub>6</sub>H<sub>4</sub>,  $\delta_{AX}=54\text{Hz}$ ), 8.0(d.  $\sigma$ -2H C—C<sub>6</sub>H<sub>4</sub>), 8.60(d.  $m$ -2H  $\delta_{AX}=38\text{Hz}$  C—C<sub>6</sub>H<sub>4</sub>), Anal. calc. for C<sub>14</sub>H<sub>8</sub>O<sub>2</sub>N<sub>2</sub>Cl<sub>2</sub>:C, 49.56:H, 2.36:N, 8.26., found:C, 49.60:H, 2.41:N, 8.30.

(Ib) : mp. obs.: 96–98°C., UV(dioxane) : 242nm,  $\epsilon=53,500.$ , IR(KBr)  $\text{cm}^{-1}$ : 1753(vs. C=O st.), 1562(s. C=N st.), 1265(vs. C—O—C st.), NMR(CDCl<sub>3</sub>/TMS)  $\delta$ (ppm) : 8.10(d.  $\sigma$ -2H O—C<sub>6</sub>H<sub>4</sub>), 7.40(d.  $m$ -2H O—C<sub>6</sub>H<sub>4</sub>,  $\delta_{AX}=38\text{Hz}$ ), 7.25(m. 4H C—C<sub>6</sub>H<sub>4</sub>), Anal. calc. for C<sub>14</sub>H<sub>8</sub>O<sub>2</sub>NCl<sub>2</sub>:C, 51.14:H, 2.44:N, 4.26, found:C, 51.10:H, 2.50:N, 4.29.

(Ic) : mp. obs. : 102–104°C (lit.<sup>6</sup> 103°C), UV(dioxane) : 242nm,  $\epsilon=51,000.$ , IR(KBr)  $\text{cm}^{-1}$ : 1753 (vs. C=O st.), 1565(s. C=N st.), 1276(vs. C—O—C st.), NMR(CDCl<sub>3</sub>/TMS)  $\delta$ (ppm) : 8.13 (d.  $\sigma$ -2H C—C<sub>6</sub>H<sub>4</sub>), 7.45(d.  $m$ -2H  $\delta_{AX}=38\text{Hz}$  C—C<sub>6</sub>H<sub>4</sub>) · 7.20(m. 5H, O—C<sub>6</sub>H<sub>5</sub>), Anal. calc. for C<sub>14</sub>H<sub>9</sub>O<sub>2</sub>NCl<sub>2</sub>:C, 57.30:H, 3.80:N, 4.78, found:C, 57.29:H, 3.83:N, 4.80.

(Id) : mp. obs.: 95–97°C, UV(dioxane) : 240nm,  $\epsilon=51,300.$ , IR(KBr)  $\text{cm}^{-1}$ : 1753(vs. C=O st.), 1565(m. C=N st.), 1445 & 2810(m. CH<sub>3</sub> st.), 1282(vs. C—O—C st.), NMR(CDCl<sub>3</sub>/TMS)  $\delta$ (ppm) : 8.10(d.  $\sigma$ -2H C—C<sub>6</sub>H<sub>4</sub>), 7.50(d.  $m$ -2H  $\delta_{AX}=40\text{Hz}$  C—C<sub>6</sub>H<sub>4</sub>), 7.40(m. 4H  $c$ -C<sub>6</sub>H<sub>4</sub>), 2.40(s. 3H CH<sub>3</sub>), Anal. calc. for C<sub>15</sub>H<sub>11</sub>O<sub>2</sub>NCl<sub>2</sub>:C, 58.44:H, 3.57:N, 4.55, found:C, 58.46:H, 3.60:N, 4.56.

(Ie) : mp. obs.: 96–98°C, UV(dioxane) : 240nm,  $\epsilon=54,000.$ , IR(KBr)  $\text{cm}^{-1}$ : 1753(vs. C=O st.), 1560(m. C=N st.), 1440 & 2840(m. CH<sub>3</sub>O st.), 1288(vs. C—O—C st.), NMR(CDCl<sub>3</sub>/TMS)  $\delta$ (ppm) : 8.07(d.  $\sigma$ -2H C—C<sub>6</sub>H<sub>4</sub>), 7.40(d.  $m$ -2H

$\delta_{AX}=40\text{Hz}$  C—C<sub>6</sub>H<sub>4</sub>), 7.0(m. 4H O—C<sub>6</sub>H<sub>4</sub>), 3.80(s. 3H CH<sub>3</sub>O), Anal. calc. for C<sub>15</sub>H<sub>11</sub>O<sub>3</sub>NCl<sub>2</sub>:C, 55.55:H, 3.40:N, 4.32, found:C, 55.60:H, 3.42:N, 4.35.

### 반응속도 상수의 측정

1 : 4 dioxane-물로 혼합된 반응용액의 pH(0.0~7.0)를 소정의 완충용액으로 조절하고<sup>3</sup>, 반응 중 이온의 세기가 1.0M(NaClO<sub>4</sub>)이 유지되도록 하였다. 100ml vol. flask에 반응용액과 (I)의 저장용액( $1 \times 10^{-3}\text{M}$ )을 가하여 혼합하고 ( $2 \sim 3 \times 10^{-5}\text{M}$ ) 항온조속에서 25°C를 유지하면서 시간에 따른 농도변화를 자외선 분광기로 측정하여 curve fitting program 으로부터 1차 반응 속도상수를 구하였다. 또한 1 : 4 aceton-d<sub>6</sub>-D<sub>2</sub>O 용액 1ml에 DCl과 acetate buffer(CD<sub>3</sub>CO<sub>2</sub>D 와 CD<sub>3</sub>-CO<sub>2</sub>Na)를 가하여 각각 PD2.0과 6.0으로 조절하고 (le) 0.1M를 NMR튜브에 넣어 봉한 다음에 50°C에서 반응시킨 후, sodium 4,4-dimethyl-4-silicapeptane-1-sulfate(DSS)를 내부 표준물질로 한 NMR 스펙트럼으로 부터 *p*-chlorobenzamide( $\delta$ 7.78ppm, m, 4H, C<sub>6</sub>H<sub>4</sub>)와 *p*-methoxyphenol ( $\delta$ 3.8ppm, s, 3H CH<sub>3</sub>O 및  $\delta$ 6.68ppm, s, 4H, C<sub>6</sub>H<sub>4</sub>)이 생성됨을 확인하였다.

### 결과 와 고찰

#### 분자의 형태

(If)의 (E)와 (Z)이성체에 대한 anti peri-planar(ap)와 syn peri-planar(sp) 등의 4 가지 peri planar 형태<sup>12</sup>의 전체에너지( $E_T$ )를 EHT 방법<sup>13</sup>으로 계산한 바, 상대적인 전체 에너지 차이는 (E-ap) > (Z-sp) > (E-sp) > 및 (Z-ap)의 순서로 감소하므로 (Table 1.) 가장 안정한 형태는 (E-ap) 형태이었다<sup>12b</sup>. 또한 C-phenyl group과 O-phenyl group의 회전에 따른 전체 에너지를 비교한 바, (Table 2.) O-phenyl group이 C-phenyl group보다 전체 에너지 변화에 큰 영향을 미치고 있으며 hydroxymoyl chloride의 경우와 같이<sup>12</sup> 분자내 반발작용이 가장 작은 안정한 형태를 취하기 위하여 Y-치환 phenyl group(C<sub>6</sub>H<sub>4</sub>-Y)이 benzimidochloroformyl group의 면에 대하여 수직(90°)을 이루고 있음을 나타내고 있다.

Table 1. Total energies ( $E_t$ ) for four peri planar conformational isomers of phenyl N-benzoylchloroformimidate by EHT method

Rotation axis & angle( $^{\circ}$ ) C-OC <sub>6</sub> H <sub>4</sub> Y C=NC(O)C <sub>6</sub> H <sub>4</sub> X	Confor-mers	$E_t$ (ev)	$\Delta E_t$ (Kcal. /Mol.)	Stability
0 0	E-ap	-1650. 9544	0. 00	1
0 180	Z-ap	-1647. 3988	81. 97	4
180 0	E-sp	-1648. 8010	49. 66	3
180 180	Z-sp	-1649. 6809	29. 37	2

### 가수분해 반응속도식

pH에 따른 반응속도 상수를 근거로 나타낸 pH-rate profile(Fig. 1)로부터 pH3.0 이하의 산성 용액속에서는 pH에 무관한 반응이 일어나고 pH4.0 이상에서는 log $k$ 가 pH에 비례하는 염기 촉매반응이 일어남을 보여주므로 반응속도식은 다음 (3)식과 같이 쓸 수 있다.

$$\text{Rate} = -d[(\text{I})]/dt = k_{\text{obs}}[(\text{I})] \quad (1)$$

$$= \{k_{\text{H}_2\text{O}} + k_{\text{OH}^-}[\text{OH}^-]\}[(\text{I})] \quad (2)$$

$$k_{\text{obs}} = k_{\text{H}_2\text{O}} + k_{\text{OH}^-}[\text{OH}^-] \times \text{KW}/[\text{H}_3\text{O}^+] \quad (3)$$

Azomethine 화합물에서 이탈기와 질소원자의 비공유 전자쌍이 cis인 (E)이성질체보다는 trans인 (Z)이성질체가 보다 쉽게 탄소-질소 3중결합성을 나타내는 반응성이 큰 nitrilium 이온(II)을 생성하는 반면에<sup>8</sup> (I) 유도체들은 (E-ap)형태를 취할뿐 아니라 공명기여 구조들로 인한 안정화가 크기 때문에 반응속도가 느린것으로 설명되며 p-chlorobenzoyl group이 전자를 강하게 끌어주어 질소원자에 부분적인 전자 결핍상태를 만들므로 산성 용액속에서 특정 산 촉매 반응이 일어나지 않는다. 따라서 활성화된 azomethine 탄소에는 물분자와 hydroxid 이온의 친핵반응만이 일어나게 되며 (3)식에 적용한 화합물 별 반응속도식은 다음 (4)~(8)식과 같다.

$$(I_a) : k_{\text{obs}} = 3.25 \times 10^{-8} + 1.25 \times 10^{-11}/[\text{H}_3\text{O}^+] \quad (4)$$

$$(I_b) : k_{\text{obs}} = 4.60 \times 10^{-8} + 7.86 \times 10^{-12}/[\text{H}_3\text{O}^+] \quad (5)$$

$$(I_c) : k_{\text{obs}} = 6.30 \times 10^{-8} + 4.51 \times 10^{-12}/[\text{H}_3\text{O}^+] \quad (6)$$

$$(I_d) : k_{\text{obs}} = 7.21 \times 10^{-8} + 2.98 \times 10^{-12}/[\text{H}_3\text{O}^+] \quad (7)$$

$$(I_e) : k_{\text{obs}} = 1.47 \times 10^{-7} + 1.29 \times 10^{-12}/[\text{H}_3\text{O}^+] \quad (8)$$

Table 2. Total energies for conformational isomers of phenyl N-benzoylchloroformimidate (E-ap) by EHT method

Rotation axis & angle( $^{\circ}$ ) O-C <sub>6</sub> H <sub>4</sub> Y( $\theta$ ) C-C <sub>6</sub> H <sub>4</sub> X( $\phi$ )	$E_t$ (ev.)	$\Delta E_t$ (Kcal. /Mol.)	Stability
0 90	-1650. 9544	43. 22	4
30 90	-1650. 1937	16. 65	3
60 90	-1652. 7758	1. 22	2
90 90	-1652. 8289	0. 00	1
90 0	-1652. 8287	0. 00	1
90 30	-1652. 8023	0. 61	2
90 60	-1652. 7137	2. 65	3
90 90	-1652. 6620	3. 85	4

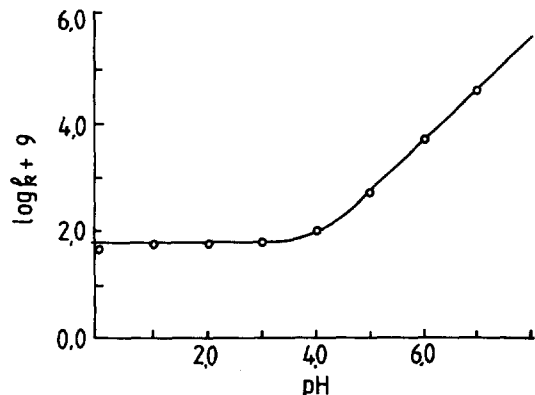


Fig. 1. pH-rate profile for the hydrolysis of phenyl N-(p-chlorobenzoyl)chloroformimidates at 25°C.

### 치환기 효과

Y-치환기가 반응속도에 미치는 치환기 효과를 알아보기 위하여 일정한 반응속도 상수를 나타내는 낮은 pH 부근의 pH2.0과 염기 농도에 비례하는 높은 pH인 pH6.0에서의 반응속도 상수를 Hammett 식과 Brown 식<sup>14</sup>에 적용하여 (Fig. 2) 낮은 pH에서는  $\rho = -0.52$  ( $\rho^+ = -0.41$ ), 그리고 높은 pH에서는  $\rho = 0.82$  ( $\rho^+ = 0.62$ )의 값을 각각 얻었다.

낮은 pH에서  $\rho < 0$ 의 값을 나타낸은 chloro group이 이탈된 다음 Y-전자밀게들에 의하여 안정성이 증가하는 azocarbonium 이온(II)과 같이 이온성을 띠는 이온화 메카니즘<sup>15</sup>으로 진행된다는 사실로 부터  $S_N1$  반응이 일어난다고 설명

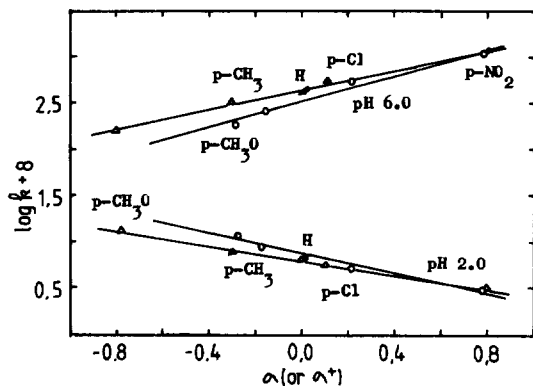


Fig. 2. Hammett plot for the hydrolysis of phenyl N-(p-chlorobenzoyl)chloroformimidate derivatives at pH 6.0 ( $\rho = 0.82$  ( $r = 0.919$ ),  $\rho^+ = 0.62$  ( $r = 0.971$ )) and pH 2.0 ( $\rho = -0.52$  ( $r = 0.900$ ),  $\rho^+ = -0.41$  ( $r = 0.972$ )) and 25°C. (○( $\sigma$ )&△( $\sigma^+$ )).

된다. 높은 pH에서는 강한 친핵체인 hydroxide 이온이 첨가되므로 반응속도 상수는 hydroxide 이온 농도에 비례할 뿐만 아니라, 일반 염기 촉매반응이 일어나지 않으며 치환기가 전자를 끌 수록 azomethine 탄소 원자의 양하전이 커지게 되어 친핵체의 첨가가 빠르게 이루어지기 때문에 ( $\rho > 0$ ) 안정한 음이온 부가 중간체 (III)를 생성하게 될 것이다<sup>4</sup>. 따라서 친핵체의 첨가단계가 속도결정 단계이고, 좋은 이탈기인 chloro group 이 phenoxy group 보다 빨리 이탈되어<sup>16</sup> 사면체 중간체보다는<sup>17</sup> (III)과 같은 전이상태를 지나는  $S_N2$  반응 메카니즘<sup>15</sup>에 의하여 가수분해 반응이 진행될 것이라고 생각된다.

한편,  $\rho > \rho^+$ 인 반응상수를 나타내는 이유는 Y-치환 phenyl group ( $C_6H_4-Y$ )이 benzimidochloroformyl group의 면에 대하여 수직 ( $90^\circ$ )이고 (Table 2.) 비선형 ( $\angle C-CC_6H_4-Y = 115^\circ$ )<sup>18</sup>이기 때문에 azomethine 탄소 원자에 미치는 Y-치환기에 의한 conjugation effect가 결여되고 있음을 잘 설명해주고 있다.

### 설통 작용

친핵체와 (II) 및 ( $I_f$ )와의 설통관계로 부터<sup>19</sup> (Fig. 3) 낮은 pH에서는 Y-치환기가 전자를 끌 수록 (II)와 ( $I_f$ )의 활성화된 azomethine 탄소 원자의 양하전이 증가하고, LUMO 에너지가 감소할 것이므로 Fukui의 이론과 같이<sup>20</sup> Hard-Hard

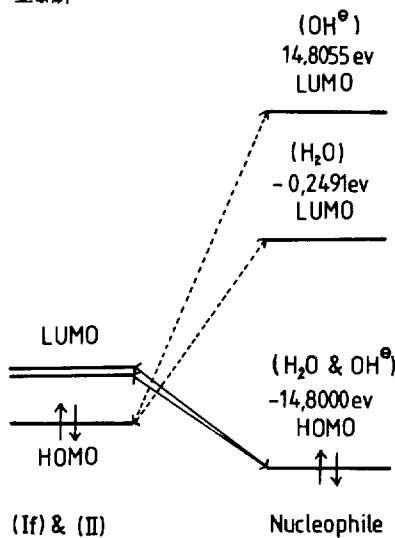


Fig. 3. Frontier orbital interaction for (II) (LUMO: -10.2478ev & HOMO: -12.4856ev), ( $I_f$ ) (LUMO: -10.0142 ev & HOMO: -12.4728ev) and nucleophiles.

Table 3. Total energies for various rotational conformations of (II) (E-ap)-OH<sub>2</sub> complex

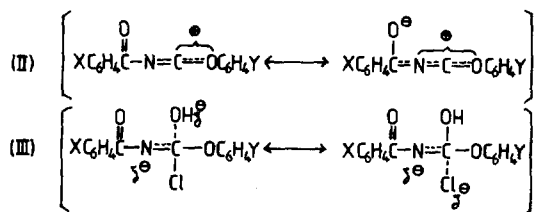
Approach methods	Rotation axis & angle ( $\theta^\circ$ )		$E_t$ (ev.)	$\Delta E_t$ (Kcal/M)	Stability
	Z-axis ( $\theta$ )	Y-axis ( $\phi$ )			
Sigma ( $\sigma$ )	0.0	90.0	-1674.0044	0.00	1
	90.0	90.0	-1674.0045	0.00	1
Pi ( $\pi$ )	0.0	0.0	-1673.7853	5.05	5
	90.0	0.0	-1673.7897	4.95	3
	180.0	0.0	-1673.7874	5.01	4
	270.0	0.0	-1673.9764	0.65	2

한 전하조절 반응과<sup>20c</sup> soft-soft 한 궤도조절 반응이 같은 방향 ( $\rho > 0$ )으로 일어나는 친핵성 반응이 일어날 것이다. 활성화된 azomethine 탄소 원자에 대한 물분자의 첨가방향을 알아보기 위하여 (II)와 물분자와의 상호 작용계에 대한 좌표<sup>21</sup>를 정하고 azomethine 탄소에 수직으로 놓인 물분자의 산소원자를 중심으로 한 Z-축 회전 ( $\phi$ )과 평면 Y-축 회전 ( $\theta$ )된 물분자의 접근에 따른 전체에너지(Stability)를 계산하여 비교(Table 3.) 한 바,  $S_N1$  반응 시 물분자는 시그마 접근 방식에 의하여 친핵반응이 일어남을 나타내었으며,  $S_N2$  반응시에도 azomethine 탄소 원자가  $sp^2$  혼성화 되여 있으므로  $S_N1$  반응시와 비슷한 방식으로 친핵체의 첨

가가 이루어 질 것이라 예측된다.

가수분해 반응메카니즘

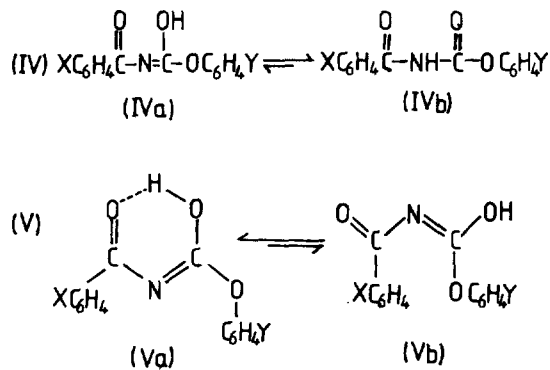
Formimidate 와 유사구조 화합물인 *N*-acyl urea 나 isoamid 들은 acyl group 이 분자내 이동으로 Mumm 형의 자리옮김 반응이 일어나지만<sup>22</sup>, (I) 유도체들은 (E-ap) 형태를 취하고 있고 azomethine 결합의 이웃에 결합된 benzoyl group, phenoxy group 및 chloro group 등이 질소원자의 친핵성을 감소시키고 있으므로 질소원자가 분자내 친핵공격이 가능한 구조적 특징을 가지고 있지 않으며 chloro group 의 이탈이 먼저 일어날 것이기 때문에 분자내 자리옮김 반응이 일어나기 어려울 것이다. 따라서 앞서의 결과로 부터 예상되는 바와 같이 pH3.0 이하에서는 azocarbonium 이온(II)에 물분자가 첨가되는 *S*<sub>N</sub>1 반응이 일어나게 될 것이며 pH4.0 이상에서는 전이상태(III)를 지나는 *S*<sub>N</sub>2 반응<sup>15b</sup>이 일어날 것이다.



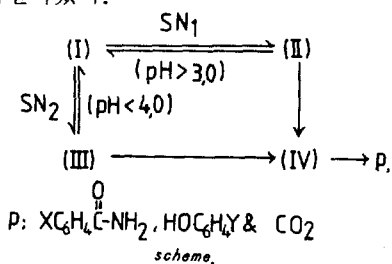
nitrilium 이온의  $S_N1$  반응 생성물은 친핵체에 대하여 질소원자의 편재화된 비공유 전자쌍이 *trans* 배열을 하게 될것이며 또한, (E-ap)형태의 chloro group에 대하여는 *trans*, 그리고 질소원자의 비공유 전자쌍에 대하여 *cis* 방향으로 들어오는 친핵체는 phenoxy group과 산소원자에 있는 비공유 전자쌍으로 인하여 입체장애가 클것이고, azomethine 결합면에 대하여 수직에 가까운 방향으로 친핵체의 공격이 이루어지는 입체특이성을 나타낼 것임을 알 수 있다.

따라서 이 두 반응은 모두 호변이성체들을 생성할 것이며 (IVa)의 엔올화<sup>23</sup>에 의하여 *cis*-enol (Va)과 *trans*-enol(Vb)를 생각할 수 있다.

이들 호번이 성체들의 전체 에너지를 비교한 바, (IVb) > (IVa) > (Va) > (Vb)의 순서로 안정성이 증가하는 결향을 나타내었다. 이는 (IV)의 stereoelectronic effect<sup>24</sup>로 인한 안정성보다 (Va)



의 azomethine 탄소 원자에 결합된 두 산소원자 사이의 반결합으로 인한 불안정성이 크기 때문에 테  $-\text{OC}_6\text{H}_4-\text{Y}$  group 이  $180^\circ$  회전하여 Y-치환 phenyl group( $\text{C}_6\text{H}_4-\text{Y}$ )이 C-OH group 쪽으로 배열되어 있을 경우에도 전체에너지의 별 다른 차이를 나타내지 않았으며 (Vb)는 가장 불안정한 형태로<sup>23</sup> 잘 알려져 있다. 그러므로 반응의 중간체로는 엔올화된 (V)보다 (IV)를 지나는 다음 Scheme과 같은 일련의 가수분해 반응 메카니즘을 제안하였다.



즉, (E-ap) 형태의 (I) 유도체들은 자리옮김 반응이 일어나지 않고, pH 3.0 이하에서는 chloro group 이 이탈되는 반응 속도 결정 단계를 지나 azocarbonium 이온 (II) 을 중간체로 하는  $S_N1(\rho < 0)$  반응이 일어나며 pH 4.0 이상에서는 반응 속도가 염기 농도에 비례 하므로 hydroxide 이온이 첨가하여 전이 상태 (III) 을 거치는  $S_N2(\rho > 0)$  반응이 일어나다.

azomethine 탄소 원자에 대한 친핵체의 접근은 시그마( $\sigma$ ) 접근방법으로 이루어 지며 Y-치환기는 적은 공명효과( $\rho > \rho^+$ )를 미치고 있다. 또한 (IVb)의 imid group 양성자는 일반 염기에 의하여 쉽게 해리하여 큰  $K_a$  상수를 나타낼것이 예상되므로 약 산성 용액 속에서도 isocyanate를 중

간체로 하는 E<sub>1</sub>CB 반응<sup>25</sup>에 의하여 일련의 가수 분해 반응이 일어날 것이나 더욱 연구되어야 하겠다.

본 연구는 한국 과학재단의 지원과 McGill 대학 화학과 Dr. J. Chin의 후원으로 이루어 진것으로 이에 사의를 표합니다.

### 인용 문헌

- (a) S. Patai, ed., "The chemistry the Carbon-Nitrogen Double-Bonds" Ch. 6-9, Interscience, London 1970; (b) *ibid.*, "The Chemistry of Imidate and Amidine." Ch. 1, Interscience, London 1975.
- G. Ernst and P. Rolf, CA 74, 100065 (1971).
- (a) N.D. Sung, K.S. Kwon and T.R. Kim, *J. Korean Chem. Soc.*, **28**, 328 (1984), (b) *ibid.*, **28**, 259 (1984).
- W.P. Jencks, *Acc. Chem. Res.*, **13**, 161 (1980).
- (a) C.R. Smith and K. Yates, *J. Am. Chem. Soc.*, **94**, 8811 (1972). (b) T. Okyama, and G. L. Schmir, *ibid.*, **94**, 8805 (1972).
- A.F. Hegarty and K.J. Dignam, *J. Chem. Soc. Perkin II*, 1046 (1975).
- C.A. Grab, H.P. Frsher, W. Raudenhusch and J. Zergenyi, *Hel. Chem. Acta*, **47**, 1003 (1964).
- A.F. Hegarty, *Acc. Chem. Res.*, **13**, 448 (1980).
- A.F. Hegarty and P.J. Tuohay: *J. Chem. Soc. Perkin II*, 1313 (1980).
- (a) Quoted in Ref. 1. (a) Ch. 9. 363; (b) *ibid.*, 1, (b) Ch. 4189.
- (a) J.A. Ambelang and T.B. Johnson, *J. Am. Chem. Soc.*, **61**, 632 (1939); (b) R. Neidlein and W. Haussmann, *Chem. Ber.*, **99**, 239 (1966); (c) E. Ander and E. Kuhlee, DAS 1, 178, 422 Farbenfabriken Bayer AG, 1963; (d) E. Kuhle, B. Ander and G. Zumeach, *Angew. Chem. Internat. Edn.*, **6**, 649 (1967).
- (a) W. Klyne and V. Prelog, *Experimentia*, **1**, **6**, 521 (1960); (b) O. Exner and O. Schindler,
- Helv. Chem. Acta*, **55**, 192 (1972); (c) J.E. Johnson, A. Ghafeuripour, Y.K. Haug, A.W. Lordes, W.T. Pennington and O. Exner, *J. Org. Chem.*, **50**, 893 (1985).
- (a) R. Hoffman, *J. Chem. Phys.*, **39**, 1397 (1963); (b) *ibid.*, **40**, 2474, 2478, and 2745 (1964).
- N.B. Chapman and J. Shorter, "Correlation Analysis in Chemistry.", Plenum press, New York and London, 1978.
- Ta-shma and Z. Rappoport, *J. Am. Chem. Soc.*, **98**, 8460 (1976).
- H.F. Gilbert and W.P. Jencks, *ibid.*, **104**, 6769 (1982).
- (a) J.E. Johnson, E.A. Nalley, C. Weidig and M. Arfan, *J. Org. Chem.*, **46**, 3623 (1981); (b) J.E. Rowe, *Aust. J. Chem.*, **36**, 1259 (1983).
- L.E. Sutton, "Table of Interatomic Distances and Conformation in Molecules and Ions", The Chem. Soc., London, Special Pub., No. 11 and 18 (1938 and 1965).
- I. Fleming, "Frontier Orbitals and Organic Chemical Reactions", John-Wiley and Sons, New York, Ch. 3, 1980.
- (a) K. Fukui, et. al., *J. Chem. Phys.*, **20**, 722 (1952); (b) *ibid.*, **22**, 1433 (1954); (c) G. Klopman, *J. Am. Chem. Soc.*, **90**, 223 (1968).
- N.D. Sung, K.S. Kwon, Y.G. Cheun. and T.R. Kim, *J. Korean Chem. Soc.* **28**, 418 (1984).
- (a) A.F. Hegarty, M.T. McCormack and K. Brody, *J. Chem. Soc. Perkin*, 867. (1980); (b) K. Brady and A.F. Hegarty, *ibid.*, 121 (1980); (c) A.F. Hegarty, T.D. Cronin and F.L. Scott., *ibid.*, 429 (1975).
- S. Patai, ed., "The Chemistry of the Carbonyl Group." **2**, Ch. 3. P. 198. Interscience, New York, 1978.
- (a) P. Deslong-champs. *Tetrahedron* **31**, 2463 (1975), (b) *ibid.*, "Stereoelectronic effects in organic chemistry" Pergamon press, New York, 1983.
- A. Williams and K.T. Douglas, *Chem. Rev.* **75**, 627 (1975).